

ANALISIS STRUKTUR ATAS PADA SKY HOUSE APARTMENT ALAM SUTERA BERDASARKAN SNI 2847-2019 DAN SNI 1726-2019

Upper Structure Analysis of Sky House Apartment Alam Sutera Based on SNI 2847-2019 and SNI 1726-2019

Riani Sudono¹ Fadli Kurnia¹

¹Program Studi Teknik Sipil, Universitas Pancasila, Jakarta, Indonesia
E-mail: rsudono@gmail.com

Diterima 25 September 2021, Disetujui 25 November 2021

ABSTRAK

Pembangunan hunian apartemen mengalami pertumbuhan yang sangat pesat dikarenakan tingginya minat masyarakat di bidang investasi hunian, serta properti menjadi salah satu latar belakang dibangunnya Sky House Apartment, Alam Sutera Tangerang dengan total lantai sebanyak 39 lantai terdiri dari 1 lantai basement + 38 lantai dan roof. Penelitian ini bertujuan untuk mengetahui dimensi serta penulangan dari struktur bangunan Sky House Apartment Alam Sutera serta untuk melakukan perhitungan beban gempa dengan menggunakan analisa beban gempa SNI 1726-2019. Dalam analisa struktur bangunan apartemen dibantu dengan menggunakan software SAP 2000 v22 untuk mencari gaya dalam. Dari analisis yang telah dilakukan, analisa respon spektrum di peroleh nilai geser static ekivalen $V = 8.397.008.48 \text{ kN}$. Didapatkan nilai gaya geser dasar arah X dan gaya geser dasar arah Y yang dihasilkan SAP 2000 sudah sesuai yakni F_x pada Ex kondisi Max sama dengan F_y pada Ey Kondisi Max = 839700.48 kN . Dimensi struktur pelat diperoleh sebesar 12cm untuk tebal pelat lantai basement hingga lantai 38, serta pelat lantai dengan tebal 15cm untuk pelat lantai atap apartemen. Pada kedua jenis pelat diperoleh tulangan arah x-x dan arah y-y tulangan Ø22 – 250mm dengan fy tulangan 420 Mpa. Dimensi struktur balok diperoleh ukuran 600x900 mm dengan tulangan longitudinal 3D32 untuk arah lapangan dan tumpuan serta tulangan transversal D25-150mm untuk lapangan dan tumpuan. Dimensi struktur kolom diperoleh ukuran 600x1200 mm dengan tulangan longitudinal D32 untuk arah lapangan dan tumpuan serta tulangan transversal D25- 200mm untuk lapangan dan tumpuan.

Kata Kunci: Struktur Atas Apartemen, Respon Spectrum, Sistem Ganda, SNI 2847:2019, SNI 1726:2019

ABSTRACT

The development of apartments has growth due to high public interest in residential investment, and property is one of the reason for the construction of Sky House Apartment, Alam Sutera Tangerang with a total of 39 floors consisting of 1 basement floor + 38 floors and roof. This paper aims to determine the dimensions and reinforcement of the Sky House Apartment Alam Sutera building structure and to calculate the earthquake loads based on SNI 1726-2019. In analyzing the structure of the apartment building, it is assisted by using the SAP 2000 v22 software to find the internal force. From the analysis that has been carried out, the spectrum response analysis obtained the equivalent static shear value of $V = 8,397,008.48 \text{ kN}$. The value of the basic shear force in the X direction and the basic shear force in the Y direction produced by SAP 2000 is appropriate, F_x at Ex Max conditions is the same as F_y at Ey Max conditions = 839700.48 kN . The dimensions of the slab structure are 12cm to the thickness for the basement slab to the 38th floor, and 15cm to the thickness for the apartment roof slab. In both types of slabs, the reinforcement in the x-x direction and the y-y direction reinforcement is obtained from 22 – 250mm with a reinforcement fy of 420 Mpa. The dimensions of the beam structure are 600x900 mm with 3D32 longitudinal reinforcement for field direction and support and D25-150mm transverse reinforcement for field and support. The dimensions of the column structure are 600x1200 mm with D32 longitudinal reinforcement for field direction and support and D25-200mm transverse reinforcement for field and support.

Keywords: Upper Structure of Apartment, Response Spectrum, Dual System, SNI 2847:2019, SNI 1726:2019

PENDAHULUAN

DKI Jakarta yang merupakan pusat pemerintahan dan pusat perekonomian Republik Indonesia terus mengalami pertumbuhan penduduk pada tahun 2021 ini. Berdasarkan SP2020, hasil sensus penduduk di DKI Jakarta yang dilakukan pada bulan September tercatat sebanyak 10,56 juta jiwa dimana jumlah tersebut terus mengalami peningkatan sebanyak 88 ribu jiwa per tahun atau sebanyak 0,92% dari tahun 2010 hingga 2020 [1].

Meningkatnya mobilitas penduduk sejalan dengan pertumbuhan dan perkembangan wilayah pemukiman di wilayah Jabodetabek yang disertai dengan segala aktivitas ekonomi yang berlangsung menjadikan kota Jakarta dan sekitarnya harus terus melakukan pembangunan dalam hal ini adalah tempat tinggal. Terbatasnya lahan pemukiman di daerah pusat pusat perekonomian menjadikan berkembangnya pembangunan apartemen sebagai wujud hunian yang praktis dan diminati. Pertumbuhan pembangunan apartemen di Indonesia terus meningkat. Hal ini ditunjukkan dalam data yang dihimpun selama 9 bulan terakhir. Menurut *Head of Research & Consultancy Savills* Indonesia Anton Sitorus, angka tersebut masih akan terus bertambah. Sepanjang tahun ini hingga tahun-tahun berikutnya, akan ada penambahan unit apartemen dalam jumlah yang cukup banyak, dimana diproyeksikan sepanjang tahun 2019 hingga 2023, kemungkinan bertambah hingga 50.000 unit. Sejalan dengan itu, pertumbuhan harga pada kawasan Jakarta serta kawasan pusat perekonomian seperti BSD City, Alam Sutera di Tangerang, Sentul City di Bogor pun mengalami pertumbuhan yang signifikan. Saat ini, rata-rata kisaran harga berada pada level Rp26,6 juta per meter persegi [2]. Tingginya minat masyarakat di bidang investasi hunian, serta properti menjadi salah satu latar belakang dibangunnya *Sky House Apartment*, Alam Sutera Tangerang dengan total lantai sebanyak 39 lantai terdiri dari 1 lantai basement + 38 lantai dan roof.

Indonesia merupakan negara yang terdiri dari banyak kepulauan dan merupakan ring of fire (cincin api) yang menjadikan negara Indonesia adalah negara yang rawan gempa. Maka, seiring perkembangan teknologi manusia dituntut untuk menciptakan metode / inovasi bangunan dengan material yang tahan gempa (earthquake resistance). Untuk mendukung sumber daya yang dimiliki pihak pengguna jasa (owner) dan mengingat kompleksitas pembangunan, baik berupa permasalahan teknis maupun non teknis maka diperlukan koordinasi yang berkesinambungan yang dilakukan secara profesional oleh pihak yang memiliki keahlian di bidang konstruksi agar waktu maupun administrasi dapat berjalan sesuai rencana. Oleh sebab itu untuk mengakomodir hal tersebut diperlukan konsultan manajemen konstruksi dan kontraktor pekerjaan rancang bangun terintegrasi.

Secara umum penelitian ini bermaksud untuk menganalisis struktur atas bangunan *Sky House Apartment*, Alam Sutera berdasarkan SNI 2847-2019 dan SNI 1726-2019 [3]. Tujuan dari penulisan penelitian ini adalah:

1. Melakukan perhitungan beban gempa

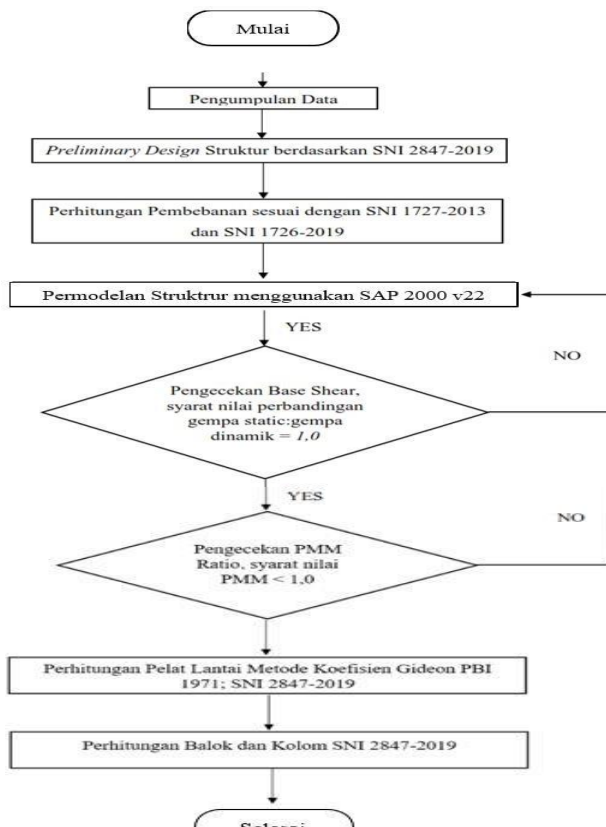
dengan menggunakan analisa beban gempa spektrum berdasarkan SNI 1726-2019

2. Melakukan perhitungan serta mengetahui dimensi dan penulangan dari elemen struktur pelat lantai pada proyek *Sky House Apartment*, Alam Sutera sesuai dengan spesifikasi dilapangan berdasarkan SNI 2847-2019 dan SNI 1726-2019
3. Melakukan perhitungan serta mengetahui dimensi dan penulangan dari elemen struktur balok pada proyek *Sky House Apartment*, Alam Sutera sesuai dengan spesifikasi dilapangan berdasarkan SNI 2847-2019 dan SNI 1726-2019
4. Melakukan perhitungan serta mengetahui dimensi dan penulangan dari elemen struktur kolom pada proyek *Sky House Apartment*, Alam Sutera sesuai dengan spesifikasi dilapangan berdasarkan SNI 2847-2019 dan SNI 1726-2019

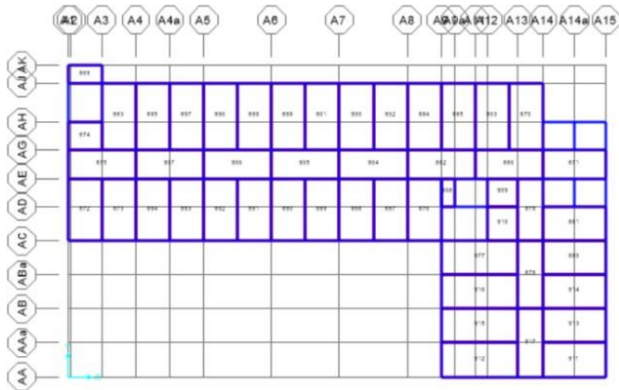
METODE

Metode penelitian yang digunakan adalah metode analisis data dengan menggunakan metode respon spektrum analisis.

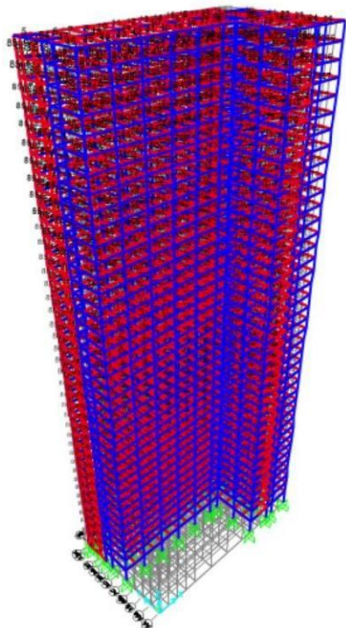
Pada penulisan Perencanaan Struktur Atas pada *Sky House Apartment* Alam Sutera ini untuk bagian analisa struktur, bagan alir perhitungan dan analisa diperlihatkan seperti pada flow chart berikut:



Gambar 1. Diagram alur penelitian



Gambar 2. Typical Plan View Sky House Apartment, Alam Sutera



Gambar 3. 3D view model struktur Sky House Apartment, Alam Sutera

HASIL DAN PEMBAHASAN

Respon Spektrum

Berdasarkan hasil uji SPT, didapatkan nilai N-SPT sebesar 33.19195168. Menurut tabel klasifikasi situs tanah (SNI 1726-2019) nilai N-SPT yang diperoleh yaitu 33.19195168 < 50, sehingga tanah di klasifikasikan kedalam kategori SD (tanah sedang) sesuai pada tabel klasifikasi situs menurut SNI 1726-2019. Berdasarkan kategori risiko bangunan yaitu bangunan apartemen memiliki kategori resiko II, sehingga nilai faktor keutamanan gempa (Ie) yaitu sebesar 1,0.

Berdasarkan peta spektra kota Tangerang Selatan (lokasi SkyHouse Apartment, Alam Sutera) untuk nilai parameter yang digunakan pada analisis adalah sebagai berikut:

$$Ss = 0,735$$

$$S1 = 0,318$$

$$Fv = 1,982$$

$$SMS = 0,89082$$

$$SM1 = 1,982 \times 0,318$$

$$SM1 = 0,6303$$

$$SDS = 0,5939$$

Berdasarkan perhitungan parameter spektrum respons desain percepatan pada periode pendek (SDS) diperoleh nilai SDS = 0,5939 sehingga Kategori Desain Seismik berdasarkan SDS maka kategori resiko seismik termasuk kedalam kategori D.

Berdasarkan perhitungan parameter spektrum respons desain percepatan pada periode 1 detik (SD1) diperoleh nilai SD1 = 0,4202 sehingga kategori resiko seismik termasuk kedalam kategori D.

Nilai koefisien Cu diperoleh sebesar 1,4 sehingga perhitungan nilai periода fundamental pendekatan (Ta) ditentukan berdasarkan persamaan:

$$Ta = Ct \times hnx \quad \dots \dots \dots (1)$$

Berdasarkan SNI diperoleh nilai Ct = 0,0488 dan x = 0,75 karena struktur bangunan apartemen yang direncanakan memiliki sistem ganda dengan rangka pemikul momen khusus yang mampu menahan paling sedikit 25% gaya seismik yang ditetapkan. Maka nilai periode fundamental pendekatan (Ta) yaitu:

$$Ta = 0,0488 \times 122,250.75$$

$$Ta = 1,79414$$

Berdasarkan SNI 1726:2019 nilai perioda fundamental struktur, T, tidak boleh melebihi hasil perkalian koefisien untuk batasan atas pada perioda yang dihitung (Cu) dan periode fundamental pendekatan (Ta).

Jika $Tc > Cu \cdot Ta$ maka gunakan $T = Cu \cdot Ta$

Jika $Tc < Cu \cdot Ta$ maka gunakan $T = Tc$

Ta = Perioda fundamental pendekatan

Cu = Koefisien untuk batas atas pada perioda yang dihitung

Dalam perhitungan periode fundamental struktur Sky House Apartment, Alam Sutera nilai T diperoleh:

$$T = Cu \times Ta \quad \dots \dots \dots (2)$$

$$T = 1,4 \times 1,79414$$

$$T = 2,512$$

Nilai Tc selanjutnya akan diperoleh berdasarkan analisa struktur pada SAP 2000 v22 dan dibandingkan dengan nilai periode fundamental struktur yang telah dihitung. Tabel Modal Participationg Mass Ratios berdasarkan hasil analisa SAP 2000 diperlihatkan pada tabel 1.

Tabel 1. Modal Participationg Mass Ratios hasil SAP2000 v22

| Output Case | StepType | Ste pNu m | Period | UX | UY | UZ | SumU X | SumU Y |
|-------------|----------|-----------|--------|--------|-------|-----------|--------|--------|
| Text | Text | Unitless | 4.8797 | | | | 0.0000 | |
| MODAL | Mode | 1 | 47 | 0.15 | 0.48 | 0.1365 | 0.15 | 0.48 |
| MODAL | Mode | 2 | 865 | 0.62 | 0.13 | -07 | 0.77 | 0.61 |
| MODAL | Mode | 3 | 413 | 0.0023 | | | 0.0000 | |
| MODAL | Mode | 4 | 1.504 | 98 | 0.11 | 0.07097 | 0.77 | 0.72 |
| | | | 293 | 0.0953 | 0.011 | 7.868E-61 | -07 | 0.87 |
| | | | | | | | 0.87 | 0.73 |

| Output Case | Step Type | Ste pNu m | Period | UX | UY | UZ | SumU X | SumU Y |
|-------------|-----------|-----------|--------------|-----------------|----------------|-----------------|--------|--------|
| MODAL | Mode | 5 | 1.430 559 | 0.0177 3 | 0.088 21 | 0.0000 06683 | 0.88 | 0.82 |
| MODAL | Mode | 6 | 0.819 39 | 0.0383 8 | 0.003 453 | 1.292E -07 | 0.92 | 0.82 |
| MODAL | Mode | 7 | 0.794 43 | 0.0002 059 | 0.025 81 | 0.0000 2265 | 0.92 | 0.85 |
| MODAL | Mode | 8 | 0.731 88 | 0.0011 56 | 0.044 17 | 0.0000 01198 | 0.92 | 0.89 |
| MODAL | Mode | 9 | 0.543 135 | 0.0213 9 | 0.000 1512 | 1.338E -08 | 0.94 | 0.89 |
| MODAL | Mode | 10 | 0.458 168 | 0.0001 075 | 0.018 22 | 0.0000 1304 | 0.94 | 0.91 |
| MODAL | Mode | 11 | 0.392 505 | 0.0135 1 | 0.000 05287 | 0.0000 0027 | 0.96 | 0.91 |
| MODAL | Mode | 12 | 0.360 82 | 0.0000 02076 | 0.016 31 | 0.0000 1914 | 0.96 | 0.93 |

Berdasarkan dari tabel di atas bahwa pada mode 1 perpindahan bangunan lebih cenderung ke arah X maka, periode mode 1 merupakan arah X yaitu 4,8797 detik dan mode 2 adalah arah Y yaitu 4,693865 detik.

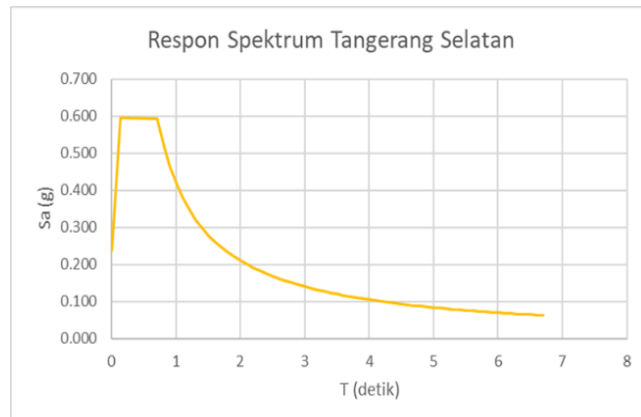
Periode dari hasil analisa tersebut lebih besar dari $T_{max} = Cu \times Ta$ yaitu 2,512 sehingga nilai T digunakan,

$$T_c > T_{max} \quad 4,8797 > Cu \times Ta$$

$$4,8797 > 2,512,$$

maka nilai T_c digunakan $T_c = T_{max}$ yaitu 2,512.

Perhitungan nilai S_a selanjutnya digunakan untuk membuat grafik respon spektrum.



Gambar 2. Grafik respon spektrum Tangerang Selatan

Berdasarkan kategori desain seismik dimana untuk Sky House Apartment Alam Sutera masuk kedalam kategori D serta sistem strukturnya adalah sistem rangka beton bertulang pemikul momen khusus (SRPMK) dengan dinding geser beton bertulang khusus maka didapatkan nilai - nilai parameter sebagai berikut:

Koefisien modifikasi respon, $R = 7$

Faktor kuat lebih, $\Omega_0 = 2.5$

Faktor pembesaran defleksi, $C_d = 5,5$ Berdasarkan SNI 1726:2019 nilai koefisien

respons seismik, C_s harus ditentukan sesuai dengan persamaan $C_s = SDS / (R/I_e)$, dimana C_s harus tidak kurang dari 0,001. Sehingga,

$$C_s = SDS / (R/I_e) \quad \dots \dots \dots (3)$$

$$C_s = 0,5939 / (7/1) C_s = 0,0848$$

$$C_s = 8,48 \%$$

Untuk nilai C_s harus tidak boleh kurang dari 0,001 sehingga nilai C_s minimum dapat dihitung sebagai berikut:

$$C_s = 0,044 \times SDS \times I_e > 0,01$$

$$C_s = 0,044 \times 0,5939 \times 1,0 > 0,01$$

$$C_{smin} = 0,0261 > 0,01 (\text{OK})$$

Dalam menentukan gaya geser dasar seismic diperlukan data berat bangunan dengan nilai live load (LL) sebesar 25%. Data berat bangunan dapat diperoleh dari SAP 2000 v22 seperti terlihat pada tabel 4.11.

Berat struktur dalam kN adalah $9.713.992.121$ kg dibagi $1000 \times 9,81 \text{ m/s}^2$ didapat

99.021.326 kN. Gaya geser static ekivalen pada struktur bangunan dihitung seperti yang terlihat dibawah.

$$V = C_s \times W \quad \dots \dots \dots (4)$$

$$V = 0,0261 \times 99.021.326 V = 8.397.008.48 \text{ kN}$$

Tabel 2. Gaya Geser dengan Scale Factor

| Vi | Load Case | FX (kN) | FY (kN) |
|--------|-----------|---------|---------|
| Ex Max | | 8397008 | 2764346 |
| Ey Max | | 3082364 | 8397008 |

Gaya geser pada SAP 2000 harus 100% sama dengan gaya geser static ekivalen sehingga diperlukan *scale factor* untuk membuat nilai gaya geser pada SAP 2000 sesuai.

Tabel 3. Koreksi Gaya Geser (dengan scale factor)

| | X | Y | kN |
|--------|------------|------------|----|
| W (kN) | 136601.684 | 136601.684 | |
| Cs | 0.0261 | 0.0261 | |
| V | 3569.6206 | 3569.6206 | kN |
| Vi | 8397008.48 | 8397008.48 | kN |
| Vi/V | 2352.35 | 2352.35 | |
| Cek | OK | OK | |

Simpangan Antar lantai

Berdasarkan SNI 1726:2019 Pasal 7.12.1 terdapat batas simpangan antar tingkat. Simpangan antar tingkat hasil desain tidak boleh melebihi simpangan antar tingkat izin.

Struktur yang didesain termasuk kedalam kategori risiko III, maka batasan simpangan antar tingkat yang digunakan adalah $0,015hx$, dimana hx adalah tinggi tingkat yang ditinjau. Untuk memenuhi persyaratan simpangan izin sesuai dengan kategori resiko bangunan maka:

$$\Delta i < \Delta a \quad \dots \dots \dots (5)$$

Δi = simpangan yang terjadi

Δa = simpangan izin antar lantai

Bangunan apartemen yang direncanakan termasuk kedalam kategori resiko bangunan III. Berdasarkan SNI 1726:2019 tabel 20 Simpangan antar tingkat izin, $\Delta_{aa,b} = 0,015hsx$ yaitu 183 mm. Dari hasil analisi SAP 2000 v22 diperoleh nilai simpangan maksimum arah X sebesar 95,83mm serta nilai simpangan maksimum arah Y sebesar 42,86mm.

Nilai simpangan antar tingkat struktur diperoleh dari hasil analisa struktur pada SAP 2000 v22. Diambil nilai

simpangan maksimum antar tingkat dengan mengeluarkan tabel maximum *story drift* akibat gaya seismik untuk kedua arah x dan y yang diperlihatkan pada tabel sebagai berikut.

Tabel 4. Pengecekan Simppangan Antar Lantai

| Story | Load Case | Delta Dir | Delta max Xe | Delta Cd | Delta Ie | Delta X | h (mm) | Ijin (mm) | Delta Cek (mm) | OK |
|----------|-----------|-----------|--------------|----------|----------|---------|--------|-----------|----------------|----|
| Roof | Ex Max | X | 95.83 | 1.64 | 5.5 | 1 | 9.02 | 3000 | 45 | OK |
| 38 | Ex Max | X | 94.19 | 1.68 | 5.5 | 1 | 9.24 | 3000 | 45 | OK |
| 37 | Ex Max | X | 92.51 | 1.88 | 5.5 | 1 | 10.34 | 3000 | 45 | OK |
| 36 | Ex Max | X | 90.63 | 1.94 | 5.5 | 1 | 10.67 | 3000 | 45 | OK |
| 35 | Ex Max | X | 88.69 | 2.47 | 5.5 | 1 | 13.585 | 3000 | 45 | OK |
| 34 | Ex Max | X | 86.22 | 2.66 | 5.5 | 1 | 14.63 | 3000 | 45 | OK |
| 33 | Ex Max | X | 83.56 | 2.69 | 5.5 | 1 | 14.795 | 3000 | 45 | OK |
| 32 | Ex Max | X | 80.87 | 2.86 | 5.5 | 1 | 15.73 | 3000 | 45 | OK |
| 31 | Ex Max | X | 78.01 | 2.87 | 5.5 | 1 | 15.785 | 3000 | 45 | OK |
| 30 | Ex Max | X | 75.14 | 3.03 | 5.5 | 1 | 16.665 | 3000 | 45 | OK |
| 29 | Ex Max | X | 72.11 | 3.22 | 5.5 | 1 | 17.71 | 3000 | 45 | OK |
| 28 | Ex Max | X | 68.89 | 3.38 | 5.5 | 1 | 18.59 | 3000 | 45 | OK |
| 27 | Ex Max | X | 65.51 | 3.5 | 5.5 | 1 | 19.25 | 3000 | 45 | OK |
| 26 | Ex Max | X | 62.01 | 3.78 | 5.5 | 1 | 20.79 | 3000 | 45 | OK |
| 25 | Ex Max | X | 58.23 | 3.89 | 5.5 | 1 | 21.395 | 3000 | 45 | OK |
| 24 | Ex Max | X | 54.34 | 4.15 | 5.5 | 1 | 22.825 | 3000 | 45 | OK |
| 23 | Ex Max | X | 50.19 | 3.98 | 5.5 | 1 | 21.89 | 3000 | 45 | OK |
| 22 | Ex Max | X | 46.21 | 4.08 | 5.5 | 1 | 22.44 | 3000 | 45 | OK |
| 21 | Ex Max | X | 42.13 | 4.05 | 5.5 | 1 | 22.275 | 3000 | 45 | OK |
| 20 | Ex Max | X | 38.08 | 4.31 | 5.5 | 1 | 23.705 | 3000 | 45 | OK |
| 19 | Ex Max | X | 33.77 | 4.5 | 5.5 | 1 | 24.75 | 3000 | 45 | OK |
| 18 | Ex Max | X | 29.27 | 4.62 | 5.5 | 1 | 25.41 | 3000 | 45 | OK |
| 17 | Ex Max | X | 24.65 | 4.64 | 5.5 | 1 | 25.52 | 3000 | 45 | OK |
| 16 | Ex Max | X | 20.01 | 4.22 | 5.5 | 1 | 23.21 | 3000 | 45 | OK |
| 15 | Ex Max | X | 15.79 | 4.01 | 5.5 | 1 | 22.055 | 3000 | 45 | OK |
| 14 | Ex Max | X | 11.78 | 4.02 | 5.5 | 1 | 22.11 | 3000 | 45 | OK |
| 13 | Ex Max | X | 7.76 | 1.57 | 5.5 | 1 | 8.635 | 3000 | 45 | OK |
| 12 | Ex Max | X | 6.19 | 1.09 | 5.5 | 1 | 5.995 | 3000 | 45 | OK |
| 11 | Ex Max | X | 5.10 | 1.03 | 5.5 | 1 | 5.665 | 3000 | 45 | OK |
| 10 | Ex Max | X | 4.07 | 0.84 | 5.5 | 1 | 4.62 | 3000 | 45 | OK |
| 9 | Ex Max | X | 3.23 | 0.62 | 5.5 | 1 | 3.41 | 3000 | 45 | OK |
| 8 | Ex Max | X | 2.61 | 0.46 | 5.5 | 1 | 2.53 | 3000 | 45 | OK |
| 7 | Ex Max | X | 2.15 | 0.45 | 5.5 | 1 | 2.475 | 3000 | 45 | OK |
| 6 | Ex Max | X | 1.70 | 0.35 | 5.5 | 1 | 1.93 | 3000 | 45 | OK |
| 5 | Ex Max | X | 1.35 | 0.25 | 5.5 | 1 | 1.375 | 3000 | 45 | OK |
| 4 | Ex Max | X | 1.10 | 0.24 | 5.5 | 1 | 1.32 | 3000 | 45 | OK |
| 3 | Ex Max | X | 0.86 | 0.25 | 5.5 | 1 | 1.375 | 3000 | 45 | OK |
| 2 | Ex Max | X | 0.61 | 0.31 | 5.5 | 1 | 1.705 | 3750 | 56.25 | OK |
| Basement | Ex Max | X | 0.30 | 0.3 | 5.5 | 1 | 1.65 | 4500 | 67.5 | OK |

Ketidakberaturan Struktur

Pengecekan ketidakberaturan horizontal diatur dalam SNI 1726:2019 Pasal 7.3.2.1. Ketidakberaturan horizontal terdiri dari ketidakberaturan sudut dalam, ketidakberaturan diskontinuitas diafragma, ketidakberaturan pergeseran melintang terhadap bidang, serta ketidakberaturan sistem non paralel. Apabila bangunan memiliki salah satu atau lebih ketidakberaturan horizontal, maka bangunan tersebut harus dirancang mengikuti pasal-pasal referensi yang ada pada Tabel 13 SNI 1726:2019.

Ketidakberaturan sudut dalam didefinisikan ada jika kedua dimensi proyeksi denah struktur dari lokasi sudut dalam lebih besar dari 15% dimensi denah struktur dalam arah yang ditinjau. Kondisi ketidakberaturan sudut dalam yaitu Ketika panjang $P_x > 0,15 L_x$ dan $P_y > 0,15 L_y$.

Berdasarkan hasil perhitungan diatas, dapat dilihat bahwa struktur bangunan yang dimodelkan mengalami ketidakberaturan sudut dalam. Dengan mengacu pada

pasal referensi yang tertera pada Tabel VI.10, pinalti yang harus dilakukan adalah gaya desain untuk elemen pemikul gaya seismik diperbesar 25%.

Ketidakberaturan diskontinuitas diafragma didefinisikan ada jika terdapat suatu diafragma yang memiliki diskontinuitas atau variasi kekakuan mendadak, termasuk yang mempunyai daerah terbuka (void) lebih besar dari 50% daerah tertutup, atau perubahan kekakuan diafragma efektif lebih dari 50% dari satu tingkat ke tingkat selanjutnya.

Berdasarkan ketidakberaturan akibat pergeseran tegak lurus terhadap bidang didefinisikan ad jika terdapat diskontinuitas dalam lintasan tahanan gaya lateral, seperti pergeseran tegak lurus terhadap bidang pada setidaknya satu elemen vertikal pemikul gaya lateral.

Pada model struktur yang didesain tidak terdapat diskontinuitas dalam lintasan tahanan lateral baik itu kolom maupun dinding geser, sehingga struktur didefinisikan tidak memiliki ketidakberaturan akibat pergeseran tegak lurus terhadap bidang.

Pengecekan ketidakberaturan vertikal diatur dalam SNI 1726:2019 Pasal 7.3.2.2. Ketidakberaturan vertikal pada struktur terdiri dari ketidakberaturan ketidakberaturan kekakuan tingkat lunak, ketidakberaturan kekakuan tingkat lunak berlebihan, ketidakberaturan berat (massa), ketidakberaturan geometri vertikal, ketidakberaturan akibat diskontinuitas bidang pada elemen vertikal pemikul gaya lateral, ketidakberaturan tingkat lemah akibat diskontinuitas pada kekakuan lateral tingkat, serta ketidakberaturan tingkat lemah berlebihan akibat diskontinuitas pada kekuatan lateral tingkat.

Ketidakberaturan berat (massa) didefinisikan ada jika massa efektif di sembarang tingkat lebih dari 150% massa efektif tingkat di dekatnya. Atap yang lebih ringan dari lantai di bawahnya tidak perlu ditinjau.

Dari hasil perhitungan pada, dapat dilihat bahwa pada lantai 2 memiliki rasio massa efektif terhadap tingkat didekatnya melebihi 150%, maka dari itu struktur mengalami ketidakberaturan berat (massa). Dengan mengacu pada pasal referensi yang tertera pada Tabel 4.2, dengan merujuk pada Tabel 16 SNI 1726:2019, pinalti pada struktur yang mengalami ketidakberaturan berat (massa) adalah prosedur analisis perhitungan beban gempa dengan metode gaya lateral ekivalen tidak diperbolehkan.

Tabel 5. Perhitungan Ketidakberaturan Berat (Massa)

| Lantai | Massa (Kg) | Cek |
|--------|------------|-----|
| 39 | 2434637.5 | OK |
| 38 | 838077.8 | OK |
| 37 | 772161.8 | OK |
| 36 | 772161.8 | OK |
| 35 | 772161.8 | OK |
| 34 | 772161.8 | OK |

| Lantai | Massa (Kg) | Cek |
|--------|---------------|-----|
| 33 | 772161.8 | OK |
| 32 | 772161.8 | OK |
| 31 | 772161.8 | OK |
| 30 | 772161.8 | OK |
| 29 | 772161.8 | OK |
| 28 | 772161.8 | OK |
| 27 | 772161.8 | OK |
| 26 | 772161.8 | OK |
| 25 | 772161.8 | OK |
| 24 | 772161.8 | OK |
| 23 | 772161.8 | OK |
| 22 | 772161.8 | OK |
| 21 | 772161.8 | OK |
| 20 | 772161.8 | OK |
| 19 | 772161.8 | OK |
| 18 | 772161.8 | OK |
| 17 | 772161.8 | OK |
| 16 | 772161.8 | OK |
| 15 | 772161.8 | OK |
| 14 | 772161.8 | OK |
| 13 | 772161.8 | OK |
| 12 | 772161.8 | OK |
| 11 | 772161.8 | OK |
| 10 | 772161.8 | OK |
| 9 | 772161.8 | OK |
| 8 | 772161.8 | OK |
| 7 | 772161.8 | OK |
| 6 | 772161.8 | OK |
| 5 | 772161.8 | OK |
| 4 | 772161.8 | OK |
| 3 | 772161.8 | OK |
| 2 | 772161.8 | OK |
| 1 | 82398 | OK |

Ketidakberaturan geometri vertikal didefinisikan jika dimensi horizontal sistem penahan gaya gempa di semua tingkat lebih dari 130% dimensi horizontal sistem penahan gaya gempa tingkat di dekatnya [9]. Dalam hal ini, penahan gaya gempa lateral yang ditinjau adalah ukuran kolom. Pada check ketidakberaturan geometri vertical akan dicek ukuran kolom pada tiap tingkat, untuk tingkat basement hingga lantai 3 digunakan kolom dengan dimensi $b=1300\text{mm}$, kolom pada lantai 4-5 menggunakan dimensi dengan $b=1200\text{mm}$ dan kolom pada lantai 6-39 menggunakan dimensi dengan $b=1100\text{mm}$. Berikut merupakan hasil tabel pengecekan ketidakberaturan geometri vertikal.

Tabel 6. Pengecekan ketidakberaturan geometri vertikal.

| Lantai | L (mm) | Cek |
|--------|-----------|-----|
| 39 | 1100 | OK |
| 38 | 1100 | OK |
| 37 | 1100 | OK |
| 36 | 1100 | OK |
| 35 | 1100 | OK |

| Lantai | L (mm) | Cek |
|--------|-----------|-----|
| 34 | 1100 | OK |
| 33 | 1100 | OK |
| 32 | 1100 | OK |
| 31 | 1100 | OK |
| 30 | 1100 | OK |
| 29 | 1100 | OK |
| 28 | 1100 | OK |
| 27 | 1100 | OK |
| 26 | 1100 | OK |
| 25 | 1100 | OK |
| 24 | 1100 | OK |

Struktur gedung tinggi pada umumnya relatif fleksibel, sehingga akibat beban gempa struktur cenderung mengalami simpangan yang besar. Simpangan tersebut dapat menimbulkan pengaruh P-Delta yang signifikan. Pada SNI 1726:2019 pengaruh P-Delta yang timbul harus memenuhi syarat batas di bawah ini.

Struktur tidak stabil bila θ (koefisien stabilitas) lebih besar dari maksimum yang diizinkan (struktur harus didesain ulang).

Bila nilai θ didapat berkisar antara $0,1 \leq \theta \leq \theta$ maks, maka hasil simpangan antar tingkat harus dikoreksi menjadi:

Bila $\theta \leq \theta_{\text{maks}} \leq 0,1$ maka pengaruh P-Delta tidak perlu diperhitungkan.

Tabel 7. Hasil Pengecekan P-Delta Arah X

| Story | Px (kN) | A (mm) | Ie | Vx (kN) | hsx (mm) | Cd | θ | Cek |
|-------|------------|-----------|----|------------|-------------|-----|----------|------|
| 39 | 2349.3 | 95.83 | 1 | 347.9 | 3000 | 5.5 | 0.0392 | Aman |
| 38 | 6543.4 | 94.19 | 1 | 734.7 | 3000 | 5.5 | 0.0508 | Aman |
| 37 | 10737.4 | 92.51 | 1 | 1047.1 | 3000 | 5.5 | 0.0575 | Aman |
| 36 | 14931.5 | 90.63 | 1 | 1293.9 | 3000 | 5.5 | 0.0634 | Aman |
| 35 | 19125.5 | 88.69 | 1 | 1489.2 | 3000 | 5.5 | 0.0690 | Aman |
| 34 | 23319.5 | 86.22 | 1 | 1645.6 | 3000 | 5.5 | 0.0740 | Aman |
| 33 | 27513.6 | 83.56 | 1 | 1771.0 | 3000 | 5.5 | 0.0787 | Aman |
| 32 | 31707.6 | 80.87 | 1 | 1869.7 | 3000 | 5.5 | 0.0831 | Aman |
| 31 | 35901.7 | 78.01 | 1 | 1946.5 | 3000 | 5.5 | 0.0872 | Aman |
| 30 | 40095.7 | 75.14 | 1 | 2008.9 | 3000 | 5.5 | 0.0909 | Aman |
| 29 | 35679.1 | 72.11 | 1 | 2065.6 | 3000 | 5.5 | 0.0755 | Aman |
| 28 | 38012.1 | 68.89 | 1 | 2123.6 | 3000 | 5.5 | 0.0747 | Aman |
| 27 | 40381.1 | 65.51 | 1 | 2186.9 | 3000 | 5.5 | 0.0733 | Aman |
| 26 | 39327.9 | 62.01 | 1 | 2258.2 | 3000 | 5.5 | 0.0654 | Aman |
| 25 | 2349.3 | 58.23 | 1 | 347.9 | 3000 | 5.5 | 0.0238 | Aman |
| 24 | 6543.4 | 54.34 | 1 | 734.7 | 3000 | 5.5 | 0.0293 | Aman |
| 23 | 10737.4 | 50.19 | 1 | 1047.1 | 3000 | 5.5 | 0.0312 | Aman |
| 22 | 14931.5 | 46.21 | 1 | 1293.9 | 3000 | 5.5 | 0.0323 | Aman |
| 21 | 19125.5 | 42.13 | 1 | 1489.2 | 3000 | 5.5 | 0.0328 | Aman |
| 20 | 23319.5 | 38.08 | 1 | 1645.6 | 3000 | 5.5 | 0.0327 | Aman |
| 19 | 27513.6 | 33.77 | 1 | 1771.0 | 3000 | 5.5 | 0.0318 | Aman |
| 18 | 31707.6 | 29.27 | 1 | 1869.7 | 3000 | 5.5 | 0.0301 | Aman |
| 17 | 35901.7 | 24.65 | 1 | 1946.5 | 3000 | 5.5 | 0.0276 | Aman |
| 16 | 40095.7 | 20.01 | 1 | 2008.9 | 3000 | 5.5 | 0.0242 | Aman |
| 15 | 44289.8 | 15.79 | 1 | 2065.6 | 3000 | 5.5 | 0.0205 | Aman |
| 14 | 48483.8 | 11.78 | 1 | 2123.6 | 3000 | 5.5 | 0.0163 | Aman |
| 13 | 52677.8 | 7.76 | 1 | 2186.9 | 3000 | 5.5 | 0.0113 | Aman |
| 12 | 56871.9 | 6.19 | 1 | 2258.2 | 3000 | 5.5 | 0.0094 | Aman |
| 11 | 61065.9 | 5.10 | 1 | 2341.0 | 3000 | 5.5 | 0.0081 | Aman |
| 10 | 65260.0 | 4.07 | 1 | 2437.4 | 3000 | 5.5 | 0.0066 | Aman |

| Story | Px (kN) | Δ (mm) | le | Vx (kN) | hsx (mm) | Cd | θ | Cek |
|-------|------------|------------------|----|------------|-------------|-----|----------|------|
| 9 | 69454.0 | 3.23 | 1 | 2546.3 | 3000 | 5.5 | 0.0053 | Aman |
| 8 | 73648.1 | 2.61 | 1 | 2663.2 | 3000 | 5.5 | 0.0044 | Aman |
| 7 | 77842.1 | 2.15 | 1 | 2782.1 | 3000 | 5.5 | 0.0036 | Aman |
| 6 | 82036.2 | 1.70 | 1 | 2898.9 | 3000 | 5.5 | 0.0029 | Aman |
| 5 | 86230.2 | 1.35 | 1 | 3010.1 | 3000 | 5.5 | 0.0023 | Aman |
| 4 | 90424.2 | 1.10 | 1 | 3110.4 | 3000 | 5.5 | 0.0019 | Aman |
| 3 | 94618.3 | 0.86 | 1 | 3191.1 | 3000 | 5.5 | 0.0015 | Aman |
| 2 | 98812.3 | 0.61 | 1 | 3243.1 | 3750 | 5.5 | 0.0009 | Aman |
| 1 | 103006.4 | 0.30 | 1 | 3263.3 | 4500 | 5.5 | 0.0004 | Aman |

Tabel 8. Hasil Pengecekan P-Delta Arah Y

| Story | Py (kN) | Δ (mm) | le | Vy (kN) | hsy (mm) | Cd | θ | Cek |
|-------|------------|------------------|----|------------|-------------|-----|----------|------|
| 39 | 2349.3 | 42.86 | 1 | 347.9 | 3000 | 5.5 | 0.0175 | Aman |
| 38 | 6543.4 | 42.38 | 1 | 734.7 | 3000 | 5.5 | 0.0229 | Aman |
| 37 | 10737.4 | 41.91 | 1 | 1047.1 | 3000 | 5.5 | 0.0260 | Aman |
| 36 | 14931.5 | 41.25 | 1 | 1293.9 | 3000 | 5.5 | 0.0288 | Aman |
| 35 | 19125.5 | 40.5 | 1 | 1489.2 | 3000 | 5.5 | 0.0315 | Aman |
| 34 | 23319.5 | 39.34 | 1 | 1645.6 | 3000 | 5.5 | 0.0338 | Aman |
| 33 | 27513.6 | 38.12 | 1 | 1771.0 | 3000 | 5.5 | 0.0359 | Aman |
| 32 | 31707.6 | 36.76 | 1 | 1869.7 | 3000 | 5.5 | 0.0378 | Aman |
| 31 | 35901.7 | 35.19 | 1 | 1946.5 | 3000 | 5.5 | 0.0393 | Aman |
| 30 | 40095.7 | 33.57 | 1 | 2008.9 | 3000 | 5.5 | 0.0406 | Aman |
| 29 | 35679.1 | 32.09 | 1 | 2065.6 | 3000 | 5.5 | 0.0336 | Aman |
| 28 | 38012.1 | 30.11 | 1 | 2123.6 | 3000 | 5.5 | 0.0327 | Aman |
| 27 | 40381.1 | 28.12 | 1 | 2186.9 | 3000 | 5.5 | 0.0315 | Aman |
| 26 | 39327.9 | 26.1 | 1 | 2258.2 | 3000 | 5.5 | 0.0275 | Aman |
| 25 | 2349.3 | 24.06 | 1 | 347.9 | 3000 | 5.5 | 0.0098 | Aman |
| 24 | 6543.4 | 22.01 | 1 | 734.7 | 3000 | 5.5 | 0.0118 | Aman |
| 23 | 10737.4 | 19.91 | 1 | 1047.1 | 3000 | 5.5 | 0.0123 | Aman |
| 22 | 14931.5 | 17.68 | 1 | 1293.9 | 3000 | 5.5 | 0.0122 | Aman |
| 21 | 19125.5 | 15.22 | 1 | 1489.2 | 3000 | 5.5 | 0.0117 | Aman |
| 20 | 23319.5 | 12.65 | 1 | 1645.6 | 3000 | 5.5 | 0.0108 | Aman |
| 19 | 27513.6 | 9.99 | 1 | 1771.0 | 3000 | 5.5 | 0.0094 | Aman |
| 18 | 31707.6 | 8.55 | 1 | 1869.7 | 3000 | 5.5 | 0.0088 | Aman |
| 17 | 35901.7 | 8.31 | 1 | 1946.5 | 3000 | 5.5 | 0.0093 | Aman |
| 16 | 40095.7 | 7.66 | 1 | 2008.9 | 3000 | 5.5 | 0.0093 | Aman |
| 15 | 44289.8 | 7.03 | 1 | 2065.6 | 3000 | 5.5 | 0.0091 | Aman |
| 14 | 48483.8 | 6.98 | 1 | 2123.6 | 3000 | 5.5 | 0.0097 | Aman |
| 13 | 52677.8 | 6.65 | 1 | 2186.9 | 3000 | 5.5 | 0.0097 | Aman |
| 12 | 56871.9 | 6.44 | 1 | 2258.2 | 3000 | 5.5 | 0.0098 | Aman |
| 11 | 61065.9 | 6.01 | 1 | 2341.0 | 3000 | 5.5 | 0.0095 | Aman |
| 10 | 65260.0 | 5.95 | 1 | 2437.4 | 3000 | 5.5 | 0.0096 | Aman |
| 9 | 69454.0 | 5.67 | 1 | 2546.3 | 3000 | 5.5 | 0.0093 | Aman |
| 8 | 73648.1 | 5.11 | 1 | 2663.2 | 3000 | 5.5 | 0.0085 | Aman |
| 7 | 77842.1 | 4.73 | 1 | 2782.1 | 3000 | 5.5 | 0.0080 | Aman |
| 6 | 82036.2 | 4.24 | 1 | 2898.9 | 3000 | 5.5 | 0.0072 | Aman |
| 5 | 86230.2 | 3.88 | 1 | 3010.1 | 3000 | 5.5 | 0.0067 | Aman |
| 4 | 90424.2 | 3.55 | 1 | 3110.4 | 3000 | 5.5 | 0.0062 | Aman |
| 3 | 94618.3 | 2.97 | 1 | 3191.1 | 3000 | 5.5 | 0.005315 | Aman |
| 2 | 98812.3 | 1.98 | 1 | 3243.1 | 3750 | 5.5 | 0.0037 | Aman |
| 1 | 103006.4 | 0.31 | 1 | 3263.3 | 4500 | 5.5 | 0.0006 | Aman |

Pada perencanaan struktur atas Sky House Apartment Alam Sutera di rencanakan dua jenis pelat lantai dengan tebal 12cm untuk Basement - 38th floor dan pelat lantai dengan tebal 15cm untuk roof. Perhitungan pelat lantai untuk bagian basement - 38th+ floor dengan tebal 12 cm akan diperlihatkan contoh perhitungan untuk lantai 6th - 38th floor sesuai dengan beban rencana yang diperhitungkan pada lantai tersebut. Selanjutnya, untuk perhitungan pelat pada lantai yang disebutkan diatas akan dimodelkan dalam analisis struktur pada SAP 2000 v22. Rekapitulasi dimensi pelat lantai hasil perhitungan pelat lantai untuk bagian basement - 38th floor dengan tebal 12 cm serta bagian

roof dengan tebal 15cm diperlihatkan pada tabel berikut.

Tabel 9. Hasil Perhitungan Pelat lantai

| Floor | Tebal pelat (mm) | fc' (MPa) | Dia. Tul (mm) | jarak Tul. (mm) | |
|---|------------------|-----------|---------------|-----------------|-----|
| Roof | 15 | 35 | 420 | D22 | 250 |
| 6 th -38 th floor | 12 | 35 | 420 | D22 | 250 |
| | 12 | 35 | 420 | D22 | 250 |
| | 12 | 35 | 420 | D22 | 250 |
| 3 rd -5 th floor | 12 | 35 | 420 | D22 | 250 |
| | 12 | 35 | 420 | D22 | 250 |
| | 12 | 35 | 420 | D22 | 250 |
| | 12 | 35 | 420 | D22 | 250 |
| | 12 | 35 | 420 | D22 | 250 |
| 2 nd floor | 12 | 35 | 420 | D22 | 250 |
| | 12 | 35 | 420 | D22 | 250 |
| | 12 | 35 | 420 | D22 | 250 |
| | 12 | 35 | 420 | D22 | 250 |
| | 12 | 35 | 420 | D22 | 250 |
| Basement | 12 | 35 | 420 | D22 | 250 |
| | 12 | 35 | 420 | D22 | 250 |
| | 12 | 35 | 420 | D22 | 250 |
| | 12 | 35 | 420 | D22 | 250 |

Pada perencanaan struktur atas Sky House Apartment Alam Sutera di rencanakan struktur balok dengan 15 tipe balok seperti diperlihatkan pada tabel 10 sebagai berikut.

Tabel 10. Hasil Perhitungan Balok Basement – lantai 2

Tabel 11. Hasil Perhitungan Balok Lantai 4 – lantai 5

| 4th-5th floor | | | | | | |
|--------------------------------|-------------------|--------------|------------------|--------------|------------------|--------------|
| Tipe Balok | BALOK 1000x650 | | BALOK 200x400 | | BALOK 200x500 | |
| Posisi | Tump. | Lap. | Tump. | Lap. | Tump. | Lap. |
| Dimensi | 1000x650 | | 200x400 | | 200x500 | |
| Tulangan Momen Negatif (Atas) | 11D32 | 3D32 | 8D32 | 3D32 | 8D32 | 3D32 |
| Tulangan Momen Positif (Bawah) | 4D32 | 4D32 | 3D32 | 4D32 | 4D32 | 4D32 |
| Tulangan Sengkang | 3D13- 150 | 3D13- 150 | 3D13- 150 | 3D13- 150 | 3D13- 150 | 3D13- 150 |
| Tipe Balok | BALOK 250x400 | | BALOK 250x650 | | BALOK 300x550 | |
| Posisi | Tump. | Lap. | Tump. | Lap. | Tump. | Lap. |
| Dimensi | 250x400 | | 250x650 | | 300x550 | |
| Tulangan Momen Negatif (Atas) | 8D32 | 3D32 | 10D32 | 3D32 | 8D32 | 3D32 |
| Tulangan Momen Positif (Bawah) | 4D32 | 4D32 | 3D32 | 4D32 | 4D32 | 4D32 |
| Tulangan Sengkang | 3D13- 150 | 3D13- 150 | 3D13- 150 | 3D13- 150 | 3D13- 150 | 3D13- 150 |
| Tipe Balok | BALOK 350x550 | | BALOK 400x550 | | BALOK 400x650 | |
| Posisi | Tump. | Lap. | Tump. | Lap. | Tump. | Lap. |
| Dimensi | 350x550 | | 400x550 | | 400x650 | |
| Tulangan Momen Negatif (Atas) | 8D32 | 3D32 | 8D32 | 3D32 | 10D32 | 3D32 |
| Tulangan Momen Positif (Bawah) | 4D32 | 4D32 | 4D32 | 4D32 | 4D32 | 4D32 |
| Tulangan Sengkang | 3D13- 150 | 3D13- 150 | 3D13- 150 | 3D13- 150 | 3D13- 150 | 3D13- 150 |

Tabel 12. Hasil Perhitungan Balok Lantai 6 – lantai 38

| 6th-38th floor | | | | | | |
|--------------------------------|-------------------|--------------|------------------|--------------|------------------|--------------|
| Tipe Balok | BALOK 1000x350 | | BALOK 200x400 | | BALOK 200x500 | |
| Posisi | Tump. | Lap. | Tump. | Lap. | Tump. | Lap. |
| Dimensi | 1000x350 | | 200x400 | | 200x500 | |
| Tulangan Momen Negatif (Atas) | 11D32 | 3D32 | 8D32 | 3D32 | 8D32 | 3D32 |
| Tulangan Momen Positif (Bawah) | 4D32 | 4D32 | 3D32 | 4D32 | 4D32 | 4D32 |
| Tulangan Sengkang | 3D13- 150 | 3D13- 150 | 3D13- 150 | 3D13- 150 | 3D13- 150 | 3D13- 150 |
| Tipe Balok | BALOK 250x400 | | BALOK 250x650 | | BALOK 300x550 | |
| Posisi | Tump. | Lap. | Tump. | Lap. | Tump. | Lap. |
| Dimensi | 250x400 | | 250x650 | | 300x550 | |
| Tulangan Momen Negatif (Atas) | 8D32 | 3D32 | 10D32 | 3D32 | 8D32 | 3D32 |
| Tulangan Momen Positif (Bawah) | 4D32 | 4D32 | 3D32 | 4D32 | 4D32 | 4D32 |
| Tulangan Sengkang | 3D13- 150 | 3D13- 150 | 3D13- 150 | 3D13- 150 | 3D13- 150 | 3D13- 150 |
| Tipe Balok | BALOK 450x600 | | BALOK 600x550 | | BALOK 600x650 | |
| Posisi | Tump. | Lap. | Tump. | Lap. | Tump. | Lap. |
| Dimensi | 450x600 | | 600x550 | | 600x650 | |
| Tulangan Momen Negatif (Atas) | 9D32 | 3D32 | 8D32 | 3D32 | 10D32 | 3D32 |
| Tulangan Momen Positif (Bawah) | 4D32 | 4D32 | 4D32 | 4D32 | 4D32 | 4D32 |
| Tulangan Sengkang | 3D13- 150 | 3D13- 150 | 3D13- 150 | 3D13- 150 | 3D13- 150 | 3D13- 150 |
| Tipe Balok | BALOK 600x900 | | BALOK 800x350 | | BALOK 900x350 | |
| Posisi | Tump. | Lap. | Tump. | Lap. | Tump. | Lap. |
| Dimensi | 600x900 | | 800x350 | | 900x350 | |

| 6th-38th floor | | | | | | |
|--------------------------------|-------------------|--------------|------------------|--------------|------------------|--------------|
| Tipe Balok | BALOK 1000x350 | | BALOK 200x400 | | BALOK 200x500 | |
| Tulangan Momen Negatif (Atas) | 9D32 | 4D32 | 8D32 | 3D32 | 3D32 | 3D32 |
| Tulangan Momen Positif (Bawah) | 4D32 | 9D32 | 4D32 | 4D32 | 4D32 | 4D32 |
| Tulangan Sengkang | 3D13- 150 | 3D13- 150 | 3D13- 150 | 3D13- 150 | 3D13- 150 | 3D13- 150 |

Pada perencanaan struktur atas Sky House Apartment Alam Sutera di rencanakan struktur balok dengan 20 tipe kolom seperti diperlihatkan pada table 4.16 sebagai berikut. Perhitungan struktur kolom pada tipe kolom C1 dengan dimensi 600 x 1200mm diperlihatkan sesuai dengan beban rencana yang diperhitungkan. Rekapitulasi dimensi struktur kolom diperlihatkan pada table berikut.

Tabel 13. Hasil Perhitungan Kolom 1100 x 800

| Kolom 1100x800 | | | |
|---------------------|---------|-----------------|---------------------------------|
| Data | Nilai | Satuan | Keterangan |
| Vu | 181 | kN | Geser Kolom |
| Nu (Pu) | 7881.67 | kN | Aksial Kolom |
| fc' | 50 | MPa | mutu beton |
| fy | 420 | MPa | Mutu baja |
| plentur | | | Faktor reduksi |
| b | 1100 | mm | |
| | 800 | mm | |
| ds | 40 | mm | |
| d' | 81 | mm | |
| d | 719 | mm | |
| B1 | 0.85 | | fc <30Mpa ->0,85 |
| geser | 0.75 | | Faktor reduksi |
| D.sengkang | 25 | mm | Diameter tul.geser mm |
| D.tul utama | 32 | mm | Diameter tul.longitudinal |
| Av | 981.25 | mm ² | Luas tulangan geser |
| | 100 | mm | Spasi tul.geser |
| Ag | 880000 | mm ² | Luas Penampang |
| | 3000 | mm | tinggi |
| b | 1100 | mm | lebar |
| ds | 40 | mm | selimut beton |
| d' | 65 | mm | tinggi efektif mm |
| | 1035 | mm | tinggi dari atas hingga ke tul. |
| B1 | 0.85 | | fc <30Mpa ->0,85 |
| okolom | 0.75 | | Faktor reduksi |
| D.sengkang | 25 | mm | Diameter tul.geser |
| d1 | 1035 | mm | |
| d2 | 135 | mm | |
| d3 | 65 | mm | |
| Spasi tul | 200 | mm | |
| Digunakan D25-200mm | | | |

Tabel 14. Hasil Perhitungan Kolom 1200 x 600

| Kolom 1200x600 | | | |
|----------------|---------|--------|---------------------------|
| Data | Nilai | Satuan | Keterangan |
| Vu | 162.123 | kN | Geser Kolom |
| Nu (Pu) | 7198.23 | kN | Aksial Kolom |
| fc' | 50 | MPa | mutu beton |
| fy | 420 | MPa | Mutu baja |
| plentur | | | Faktor reduksi |
| b | 1200 | mm | |
| h | 600 | mm | |
| ds | 40 | mm | |
| d' | 81 | mm | |
| d | 519 | mm | |
| B1 | 0.85 | | fc <30Mpa ->0,85 |
| geser | 0.75 | | Faktor reduksi |
| D.sengkang | 25 | mm | Diameter tul.geser mm |
| D.tul utama | 32 | mm | Diameter tul.longitudinal |

| Kolom 1200x600 | | | |
|----------------------------|--------|-----------------|---------------------------------|
| Data | Nilai | Satuan | Keterangan |
| Av | 981.25 | mm ² | Luas tulangan geser |
| s | 100 | mm | Spasi tul.geser |
| Ag | 720000 | mm ² | Luas Penampang |
| h | 3000 | mm | tinggi |
| b | 1200 | mm | lebar |
| ds | 40 | mm | selimut beton |
| d' | 65 | mm | tinggi efektif mm |
| d | 1135 | mm | tinggi dari atas hingga ke tul. |
| BI | 0.85 | | $f_c < 30 \text{ MPa} -> 0,85$ |
| φkolom | 0.75 | | Faktor reduksi |
| D.sengkang | 25 | mm | Diameter tul.geser |
| d1 | 1135 | mm | |
| d2 | 135 | mm | |
| d3 | 65 | mm | |
| Spasi tul | 150 | mm | |
| Digunakan D25-200mm | | | |

Tabel 15. Hasil Perhitungan Kolom 1100 x 900

| Kolom 1100x900 | | | |
|----------------------------|---------|-----------------|---------------------------------|
| Data | Nilai | Satuan | Keterangan |
| Vu | 170.978 | kN | Geser Kolom |
| Nu (Pu) | 6970.12 | kN | Aksial Kolom |
| fc' | 50 | MPa | mutu beton |
| fy | 420 | MPa | Mutu baja |
| φplentur | | | Faktor reduksi |
| b | 1100 | mm | |
| h | 900 | mm | |
| ds | 40 | mm | |
| d' | 81 | mm | |
| d | 819 | mm | |
| B1 | 0.85 | | $f_c < 30 \text{ MPa} -> 0,85$ |
| geser | 0.75 | | Faktor reduksi |
| D.sengkang | 25 | mm | Diameter tul.geser mm |
| D.tul utama | 32 | mm | Diameter tul.longitudinal |
| Av | 981.25 | mm ² | Luas tulangan geser |
| s | 100 | mm | Spasi tul.geser |
| Ag | 990000 | mm ² | Luas Penampang |
| h | 3000 | mm | tinggi |
| b | 1100 | mm | lebar |
| ds | 40 | mm | selimut beton |
| d' | 65 | mm | tinggi efektif mm |
| d | 1035 | mm | tinggi dari atas hingga ke tul. |
| BI | 0.85 | | $f_c < 30 \text{ MPa} -> 0,85$ |
| φkolom | 0.75 | | Faktor reduksi |
| D.sengkang | 25 | mm | Diameter tul.geser |
| d1 | 1035 | mm | |
| d2 | 135 | mm | |
| d3 | 65 | mm | |
| Spasi tul | 200 | mm | |
| Digunakan D25-200mm | | | |

Tabel 16. Hasil Perhitungan Kolom 1300 x 600

| Kolom 1300x600 | | | |
|-----------------------|---------|-----------------|--------------------------------|
| Data | Nilai | Satuan | Keterangan |
| Vu | 161 | kN | Geser Kolom |
| Nu (Pu) | 7001.89 | kN | Aksial Kolom |
| fc' | 50 | MPa | mutu beton |
| fy | 420 | MPa | Mutu baja |
| φplentur | | | Faktor reduksi |
| b | 1300 | mm | |
| h | 600 | mm | |
| ds | 40 | mm | |
| d' | 81 | mm | |
| d | 519 | mm | |
| B1 | 0.85 | | $f_c < 30 \text{ MPa} -> 0,85$ |
| geser | 0.75 | | Faktor reduksi |
| D.sengkang | 25 | mm | Diameter tul.geser mm |
| D.tul utama | 32 | mm | Diameter tul.longitudinal |
| Av | 981.25 | mm ² | Luas tulangan geser |
| s | 100 | mm | Spasi tul.geser |
| Ag | 780000 | mm ² | Luas Penampang |

| Kolom 1300x600 | | | |
|----------------------------|-------|--------|---------------------------------|
| Data | Nilai | Satuan | Keterangan |
| h | 3000 | mm | tinggi |
| b | 1300 | mm | lebar |
| ds | 40 | mm | selimut beton |
| d' | 65 | mm | tinggi efektif mm |
| d | 1235 | mm | tinggi dari atas hingga ke tul. |
| BI | 0.85 | | $f_c < 30 \text{ MPa} -> 0,85$ |
| φkolom | 0.75 | | Faktor reduksi |
| D.sengkang | 25 | mm | Diameter tul.geser |
| d1 | 1235 | mm | |
| d2 | 135 | mm | |
| d3 | 65 | mm | |
| Spasi tul | 200 | mm | |
| Digunakan D25-200mm | | | |

Tabel 17. Hasil Perhitungan Kolom 1200 x 700

| Kolom 1200x700 | | | |
|----------------------------|---------|-----------------|---------------------------------|
| Data | Nilai | Satuan | Keterangan |
| Vu | 149.44 | kN | Geser Kolom |
| Nu (Pu) | 7551.62 | kN | Aksial Kolom |
| fc' | 50 | MPa | mutu beton |
| fy | 420 | MPa | Mutu baja |
| φplentur | | | Faktor reduksi |
| b | 1200 | mm | |
| h | 700 | mm | |
| ds | 40 | mm | |
| d' | 81 | mm | |
| d | 619 | mm | |
| B1 | 0.85 | | $f_c < 30 \text{ MPa} -> 0,85$ |
| geser | 0.75 | | Faktor reduksi |
| D.sengkang | 25 | mm | Diameter tul.geser mm |
| D.tul utama | 32 | mm | Diameter tul.longitudinal |
| Av | 981.25 | mm ² | Luas tulangan geser |
| s | 100 | mm | Spasi tul.geser |
| Ag | 840000 | mm ² | Luas Penampang |
| h | 3000 | mm | tinggi |
| b | 1200 | mm | lebar |
| ds | 40 | mm | selimut beton |
| d' | 65 | mm | tinggi efektif mm |
| d | 1135 | mm | tinggi dari atas hingga ke tul. |
| BI | 0.85 | | $f_c < 30 \text{ MPa} -> 0,85$ |
| φkolom | 0.75 | | Faktor reduksi |
| D.sengkang | 25 | mm | Diameter tul.geser |
| d1 | 1135 | mm | |
| d2 | 135 | mm | |
| d3 | 65 | mm | |
| Spasi tul | 200 | mm | |
| Digunakan D25-200mm | | | |

Tabel 18. Hasil Perhitungan Kolom 1200 x 500

| Kolom 1200x500 | | | |
|-----------------------|---------|-----------------|--------------------------------|
| Data | Nilai | Satuan | Keterangan |
| Vu | 178.31 | kN | Geser Kolom |
| Nu (Pu) | 6955.98 | kN | Aksial Kolom |
| fc' | 50 | MPa | mutu beton |
| fy | 420 | MPa | Mutu baja |
| φplentur | | | Faktor reduksi |
| b | 1200 | mm | |
| h | 50 | mm | |
| ds | 40 | mm | |
| d' | 81 | mm | |
| d | 419 | mm | |
| B1 | 0.85 | | $f_c < 30 \text{ MPa} -> 0,85$ |
| geser | 0.75 | | Faktor reduksi |
| D.sengkang | 25 | mm | Diameter tul.geser mm |
| D.tul utama | 32 | mm | Diameter tul.longitudinal |
| Av | 981.25 | mm ² | Luas tulangan geser |
| s | 100 | mm | Spasi tul.geser |
| Ag | 600000 | mm ² | Luas Penampang |
| h | 3000 | mm | tinggi |
| b | 1200 | mm | lebar |
| ds | 40 | mm | selimut beton |

| Kolom 1200x500 | | | |
|-----------------------|--------------|---------------|---------------------------------|
| Data | Nilai | Satuan | Keterangan |
| d' | 65 | mm | tinggi efektif mm |
| d | 1135 | mm | tinggi dari atas hingga ke tul. |
| BI | 0.85 | | f _c <30Mpa ->0,85 |
| φkolom | 0.75 | | Faktor reduksi |
| D.sengkang | 25 | mm | Diameter tul.geser |
| d1 | 1135 | mm | |
| d2 | 135 | mm | |
| d3 | 65 | mm | |
| Spasi tul | 200 | mm | |

Digunakan D25-200mm

Pada perhitungan *shear wall* di gunakan data hasil permodelan di SAP 2000 v22 yaitu nilai PU, M2 (maksimum dan minimum), M3 ((maksimum dan minimum), serta V2 dan V3 untuk geser. Rekapitulasi Shear Wall diperlihatkan pada tabel berikut.

Tabel 19. Hasil Perhitungan shearwall

| Tulangan Kolom | |
|-----------------------------------|-----------|
| Longitudinal | 24D32 |
| Transversal (Sejajar Lebar) | 4 D32-100 |
| Transversal (Sejajar Panjang) | 4 D32-100 |
| Tulangan badan | |
| Longitudinal | 2 D25-100 |
| Transversal | 2 D25-200 |
| Confinement EBK (Sejajar Lebar) | 4 D25-200 |
| Confinement EBK (Sejajar Panjang) | 4 D25-200 |

KESIMPULAN

Berdasarkan analisa dan pembahasan pada perencanaan struktur atas Sky House Apartment, Alam Sutera, maka dapat disimpulkan bahwa Berdasarkan hasil perhitungan analisa respon spektrum di peroleh nilai geser static ekivalen $V = 8.397.008.48$ kN. Didapatkan nilai gaya geser dasar arah X dan gaya geser dasar arah Y yang dihasilkan SAP 2000 sudah sesuai yakni F_x pada Ex kondisi Max sama dengan F_y pada Ey Kondisi Max = 839700.48 kN.

Dimensi struktur pelat diperoleh sebesar 12cm untuk tebal pelat lantai basement hingga lantai 38, serta pelat lantai dengan tebal 15cm untuk pelat lantai atap apartemen. Pada kedua jenis pelat diperoleh tulangan arah x-x dan arah y-y tulangan Ø22 – 250mm dengan fy tulangan 420 Mpa.

Dimensi struktur balok diperoleh ukuran 600x900 mm dengan tulangan longitudinal 3D32 untuk arah lapangan dan tumpuan serta tulangan transversal D25-150mm untuk lapangan dan tumpuan.

Dimensi struktur kolom diperoleh ukuran 600x1200 mm dengan tulangan longitudinal D32 untuk arah lapangan dan tumpuan serta tulangan transversal D25-200mm untuk lapangan dan tumpuan.

UCAPAN TERIMA KASIH

Selama melakukan analisis, dan proses penyusunan penelitian penulis telah mendapatkan bantuan dari banyak pihak, terutama terima kasih penulis ucapan

kepada Fadli Kurnia, S.T, M.T yang telah bersedia untuk membimbing, memberikan masukan, serta memberikan arahan selama melakukan penelitian ini.

DAFTAR PUSTAKA

- [1] B. P. Statistik, "bps.go.id," Badan Pusat Statistik "jumlah penduduk hasil sp2020 provinsi dki jakarta sebesar 10-56 juta jiwa,"jakarta.bps.go.id <https://jakarta.bps.go.id/pressrelease/2021/01/22/541/jumlah-penduduk-hasil-sp2020-provinsi-dki-jakarta-sebesar-10-56-juta-jiwa.html>. (accessed July 15, 2021).
- [2] Okezone. "pasar-apartemen-di-jakarta- masih-menggiurkan-simak-buktinya,"Okezone.com [https://economy.okezone.com/read/2019/10/23/470/2120869/pasar-apartemen-di-jakarta- masih-menggiurkan-simak-buktinya. \(accessed August 10, 2021\).](https://economy.okezone.com/read/2019/10/23/470/2120869/pasar-apartemen-di-jakarta- masih-menggiurkan-simak-buktinya. (accessed August 10, 2021).)
- [3] Standar Nasional Indonesia 2847:2019," Persyaratan Beton Struktural Untuk Bangunan Gedung dan Penjelasan, SNI 2847:2019, 17 Desember 2019.